

مقایسه درصد فضای خالی نمونه‌های مارشال با مغزه‌های گرفته شده از لایه آسفالتی اجرا شده در محل

علمی - پژوهشی

پیمان رشیدیان، دانش آموخته کارشناسی ارشد، مهندسی راه و ترابری، دانشگاه پیام نور مرکز بین الملل کیش، کیش، ایران

محمود رضا کیمنش^{*}، استادیار، دانشگاه پیام نور، تهران، ایران

جلال ایوبی نژاد، استادیار، دانشگاه پیام نور، تهران، ایران

^{*}پست الکترونیکی نویسنده مسئول: mrkeymanesh@pnu.ac.ir

دریافت: ۱۴۰۱/۰۸/۲۰ - پذیرش: ۱۴۰۲/۰۱/۲۶

صفحه ۱۹۵-۲۱۰

چکیده

در صد فضای خالی لایه آسفالتی اجرا شده اثر مهمی بر روی عملکرد بهینه، دوام و پایداری آن دارد. روش معمول برای اندازه‌گیری آن در حال حاضر انجام آزمایش مطابق استاندارد (ASTM D2014) می‌باشد. در این استاندارد محاسبه درصد فضای خالی مخلوط آسفالتی با وزن مخصوص واقعی نمونه مارشال که در شرایط کامل‌آزمایشگاهی تعیین می‌شود مشخص می‌گردد. از آنجایی که در هین انجام عملیات اجرایی نمی‌توان شرایط دقیق آزمایشگاهی را اعمال کرد، در صورت استفاده از وزن مخصوص واقعی نمونه مارشال در تعیین درصد فضای خالی مخلوط آسفالتی اجرا شده با استفاده از استاندارد (ASTM D2014) نتایج حاصله با نتایج واقعی مغایرت خواهد داشت. در این پژوهش بخشی از شبکه راه‌های استان کرمان به عنوان قطعه آزمایش انتخاب سپس تعیین درصد فضای خالی با استفاده از وزن مخصوص نمونه مارشال و وزن مخصوص مغزه اخذ شده از محور انجام اختلاف درصد فضای خالی بین نمونه‌های متناظر بدست می‌آید. با مقایسه نتایج و تحلیل آنها با توجه به یکسان بودن مخلوط آسفالتی در هر دو روش اندازه‌گیری درصد فضای خالی مشخص گردید، در صورت استفاده وزن مخصوص مغزه اخذ شده از لایه آسفالتی در محاسبه مقدار درصد فضای خالی نتیجه آن (۳۲٪) درصد بیشتر از درصد فضای خالی محاسبه شده با استفاده از وزن مخصوص نمونه مارشال است. بنابراین در صورت استفاده از درصد فضای خالی نمونه مارشال در تعیین پارامترهای لایه آسفالتی به علت متفاوت بودن شرایط دمایی و تراکم آزمایشگاهی و اجرایی نتایجی غیر از واقعیت حاصل خواهد شد. با توجه به نتایج این پژوهش بهتر است از وزن مخصوص مغزه اخذ شده از لایه آسفالتی اجرا شده در تعیین درصد فضای خالی استفاده گردد.

واژه‌های کلیدی: درصد فضای خالی، دانسیته، لایه آسفالتی، وزن مخصوص مغزه اخذ شده، وزن مخصوص نمونه

مارشال

۱- مقدمه

جريان پلاستیک، افزایش مقاومت و کاهش شکنندگی آن و نیز درصد فضای خالی کم جهت جلوگیری از نفوذ آب و هوای است. درصد فضای خالی زیاد در لایه‌های آسفالتی به آب اجازه می‌دهد در این حفره‌ها حرکت نماید. اکثر طرح

دانسیته و درصد فضای خالی از مهمترین پارامترهای تاثیرگذار در ساختار مخلوط آسفالتی است. یک مخلوط با طرح اختلاط و تراکم مناسب شامل درصد فضای خالی کافی به منظور جلوگیری از بروز شیار شدگی ناشی از

[Ganizadeh and Heidarabadi Zadeh and Zeaey 2021] رگرسیون چند جمله‌ای تکاملی محاسبه مدول دینامیکی مخلوط‌های آسفالتی که توسط سخایی فر و همکاران توسعه یافته، مدول دینامیکی رابطه عکس با میزان فضای خالی دارد به طوری که با افزایش میزان فضای خالی مدول دینامیکی کاهش می‌یابد.

[Sakhaeifar, kim and kabir, 2015] تراکم ناکافی لایه آسفالتی موجب بروز پدیده عریانشده‌گی زود هنگام در مخلوط‌های آسفالتی می‌شود. مطالعات نشان می‌دهند که در حالتی که درصد فضای خالی مخلوط آسفالتی کمتر از ۴٪ باشد مخلوط عملاً در برابر آب نفوذناپذیر است و در این ناحیه آب بی‌تأثیر است و اگر درصد فضای خالی بیشتر از حدود ۱۳–۱۴٪ باشد، مقاومت مخلوط آسفالتی تحت تأثیر رطوبت قرار می‌گیرد زیرا روسازی بصورت زهکش عمل می‌کند. اما اگر درصد فضای خالی بین این مقادیر باشد مخلوط آسفالتی در منطقه بحرانی قرار می‌گیرد، زیرا میزان فضای خالی در محدوده غیربهینه قرار دارد و مخلوط آسفالتی از لحاظ آسیب رطوبتی در بحرانی‌ترین وضعیت قرار خواهد گرفت.

[Kavande and Heidary and Dehghani 2019] استفاده از معیارهای حجمی در ارزیابی و طراحی روسازی بتن آسفالتی را نخستین بار در دهه ۵۰ میلادی مک لود کانادایی مطرح کرد. وی برای بار نخست معیار حداقل فضای خالی مصالح سنگی را در طراحی مخلوط‌های آسفالتی در قشر رویه را پیشنهاد داد، با این فرض که فضای خالی مصالح سنگی نقش موثر و کنترل کننده بر رفتار بتن آسفالتی دارد و رفتار آن را در اختیار می‌گیرد [Mcleod,1956]. وی پیشنهاد داد که بر اساس روابط حجمی باید حداقل فضای خالی مصالح سنگی ۱۵ درصد، حجم فضای خالی مخلوط آسفالتی (۳-۵) درصد، حجم پر شده با قیر (۷۵-۸۵) درصد، باشد. او در کامل کردن نظریه خود، فضای خالی مصالح سنگی را متناسب با بیشترین اندازه اسمی دانه‌ها دانست به طوری که در مصالح ریز دانه، فضای خالی مصالح سنگی از ۱۵ درصد بیشتر و در مصالح درشت دانه از ۱۵ درصد کمتر است [Smith and Hesp,2002]. امروزه برای اندازه‌گیری درصد فضای خالی لایه آسفالتی اجرا شده مطابق استاندارد ASTM D2014) از وزن مخصوص نمونه مارشال استفاده می‌گردد. از آنجاییکه مطابق نتایج پژوهش حاضر معلوم شد. نتیجه درصد فضای خالی اندازه‌گیری شده

اختلاط‌ها ۳ تا ۵ درصد فضای خالی را پیشنهاد می‌دهند. وقتی درصد فضای خالی کمتر از ۵ درصد باشد، مواد مخلوط آسفالتی اکثرا در برابر رطوبت غیرقابل نفوذ هستند. اگر درصد فضای خالی بیشتر از ۸ درصد باشد، رطوبت می‌تواند به راحتی در داخل مصالح نفوذ کند [Kandhal, P.S and et all,1992]

اگر در طول فرایند ساخت، کنترل تراکم به خوبی انجام نگیرد، درصد فضای خالی زیاد به می‌آید. ۲ تا ۳ سال، بر اثر تراکم ناشی دست از ترافیک در صد فضای خالی مورد نظر شکل می‌گیرد [Shabane and kyanfar and Mohamadyvezhe,2017]. تحکیم لایه آسفالتی در اثر فضای خالی بیش از اندازه در اول عمر روسازی رخ می‌دهد [Pardhan, 1995]. بنابراین، اندازه‌گیری صحیح درصد فضای خالی مخلوط‌های آسفالتی برای کنترل و تضمین کیفیت، تشخیص پتانسیل و کنترل خرابی لایه‌های آسفالتی اجرا شده ضروری است.

از جمله خرابی‌هایی که افزایش درصد فضای خالی لایه آسفالتی در ایجاد آنها موثر است، شیار شدگی، حساسیت رطوبتی و ... می‌باشد [Amery.etal, 2015]

امروزه افزایش وسعت و شدت تعییر شکل‌های دائم که یکی از علت‌های آن درصد فضای خالی بیش از اندازه مخلوط آسفالتی آست در سال‌های اخیر نگرانی‌هایی را در ارتباط با اثر این نوع خرابی بر عملکرد روسازی‌های آسفالتی به وجود آورده است. این نوع خرابی قابلیت بهره برداری را کاهش داده و خطر تاثیرات رطوبت ویخ زدگی را به علت تجمع آب در شیار جای چرخ، افزایش می‌دهد [Fwa and Pasindu and Ong,2012]

علاوه، این پدیده سبب ایجاد قیرزدگی نیز می‌شود که طی آن قیر به سطح روسازی آمده و با کاهش اصطکاک، بستر مناسبی برای بروز حوادث رانندگی را مهیا می‌سازد.

[Divandari.etal,2015] از بین رفتن چسبندگی قیر به علت نرم شدگی قیر پرکننده‌ای است که در مخلوط وجود دارد. در نتیجه افزایش مقدار فضای خالی و نفوذ راحت‌تر آب مقاومت در برابر آسیب رطوبتی به شدت کاهش می‌یابد، که این موضوع از علل کاهش دوام لایه آسفالتی است [Taherkhni and Afrozi,2017]. درصد فضای خالی مخلوط آسفالتی پارامتری است که در تعیین برخی از مشخصات مهم روسازی آسفالتی کاربرد دارد از جمله مدل سازی عدد جریان مخلوط‌های آسفالتی با استفاده از روش

نمونه‌های اخذ شده در هنگام اجرای لایه آسفالتی و انجام آزمایش‌های تعیین دانسیته و درصد فضای خالی بر روی مغزه‌های اخذ شده از محور و از همان محل‌هایی که نمونه‌گیری در حین اجرای عملیات صورت گرفته و با مقایسه فنی و آماری بین نتایج حاصل از آزمایشات در دو حالت فوق‌الذکر شناخت مسئله صورت پذیرد.

۲-۱- انتخاب محور‌های مورد مطالعه

بخشی از سه محور متنه به شهر کرمان در استان کرمان برای انجام آزمایش‌های میدانی در این پژوهش انتخاب شده است. جدول شماره ۱ مشخصات محورها را نشان می‌دهد.

جدول ۱. مشخصات محور مورد ارزیابی

مشخصات محور	طول محور	نام محور
دارای ۲ خط عبور اصلی درجه ۱	۲۲ کیلومتر	مسیر برگشت بم - کرمان قطعه ۳
دارای ۲ خط عبور اصلی درجه ۱	۲۲ کیلومتر	مسیر رفت کرمان - بافت قطعه ۱ الف
دارای ۲ خط عبور اصلی درجه ۱	۲۲ کیلومتر	مسیر رفت کرمان - بافت قطعه ۱ الف

۲- روش تحقیق

هدف کلی از این پژوهش تعیین درصد فضای خالی واقعی لایه آسفالتی اجرا شده می‌باشد. در این پژوهش سعی بر آن است تا با تکیه بر نتایج به دست آمده از انجام آزمایش‌های تعیین دانسیته و درصد فضای خالی برای

۲-۱- انجام آزمایش‌های مکانیکی ۲-۲- آزمایش‌های قیر

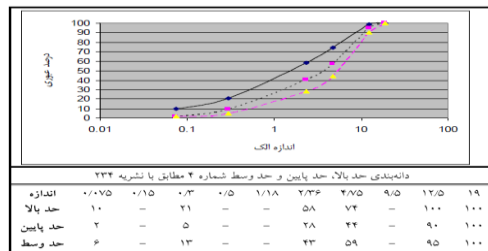
قیر انتخابی برای این تحقیق از نوع ۶۰-۷۰ بوده وکلیه الزامات استاندارد را براساس آینین نامه ایران (جدول ۱-۱۴ نشریه ۱۰۱) تمامی کرده است. جدول ۲، مشخصات قیر مصروفی در پژوهش را نشان می‌دهد.

۲-۳- دانه بندی مصالح سنگی
از میان دانه بندی‌های مختلف پیشنهادی نشریه ۲۳۴ (آینین نامه روسازی آسفالتی راههای ایران، ۱۳۹۰) به عنوان مرجع اصلی طرح روسازی‌های آسفالتی در ایران، حد وسط دانه بندی شماره ۴، برای ساخت مخلوط آسفالتی در این تحقیق انتخاب گردید. منحنی حد وسط دانه بندی شماره ۴، به همراه حدود بالا و پایین در شکل ۱، و نتایج آزمایش‌های انجام شده در خصوص مصالح سنگی در جدول ۳، ارایه شده است.

۲-۲- جمع‌آوری داده‌ها و اطلاعات

جمع‌آوری داده‌ها و اطلاعات در این پژوهش، از نوع آزمایشگاهی و میدانی می‌باشد. ابتدا از محل‌هایی به طور تصادفی در حین اجرای عملیات لایه آسفالتی اقدام به نمونه‌گیری شده و بر روی نمونه‌های اخذ شده آزمایش‌های تعیین دانسیته و درصد فضای خالی مطابق روش‌های استاندارد [ASTM T166] و [AASHTO D2014] صورت گرفته است.

سپس بعد از اتمام عملیات اجرایی از همان محل‌هایی که نمونه‌گیری جهت انجام آزمایش‌ها صورت گرفته اقدام به مغزه‌گیری شده و بر روی این مغزه‌ها نیز آزمایش‌های تعیین دانسیته و درصد فضای خالی مطابق استاندارهای فوق‌الذکر انجام گرفته است.



شکل ۱. منحنی حد وسط دابنده پیوسته شماره ۴

(آیین) نامه روسازی آسفالتی، راههای ایران، (۱۳۹۰)

متصل می‌گردد تا هوای موجود در بین ذرات آسفالت خارج شود. در نهایت، با خارج شدن تمامی هوای بین ذرات محلولت، ارلن از دستگاه جدا و تا خط نشانه پر از آب شده و وزن آن اندازه‌گیری می‌شود. سپس با کمک رابطه ۱ وزن مخصوص را می‌توان محاسبه کرد.

$$G_{mm} = \frac{A}{B+D-E} \quad (1)$$

که در آن، وزن مخصوص ماکریم، A وزن نمونه خشک در هوا (گرم) (حدود ۱۲۰ گرم)، D وزن اولن پر از آب به (گرم) و E وزن اولن حاوی نمونه آسفالتی و پر از آب (گرم)، می باشد. که مقدار اندازه گیری شده برای چگالی ماگزیم مخلوط آسفالتی در این پژوهش برای محور ۱ و محور ۲ و محور ۳ به ترتیب ۲،۴۶۵، ۲،۵۱۷، ۲،۴۷۹ گرم بر سانتی متر مکعب می باشد.

٢-٢-٦- تعیین دانسته واقعی مخلوط آسفالتی

روش آزمایش مطابق استاندارد [AASHTO.] T166 می‌باشد و دانسته واقعی از رابطه ۲ محاسبه می‌شود.

$$\frac{W_a}{W_a - W_w} \quad (\textcircled{r})$$

در این رابطه W_a وزن نمونه‌ها در هوای W_W وزن نمونه در آب و G_{mb} وزن مخصوص واقعی آسفالت می‌باشد. شکل شماره ۲، توزیع نمونه‌های آسفالتی در هوای آب را نشان می‌دهد.



شکل ۲۰. توزین نمونه‌های آسفالتی در هوا و آب

۲-۴- تعیین درصد قیر بهینه

مقدار درصد قیر بهینه مخلوط آسفالتی مطابق پیشنهادات نshirey-2 MS انتیتو آسفالت، با توجه به درصد قیر نظیر فضای خالی (۳-۶) در محور ۱ و محور ۲ و محور ۳ ترتیب ۴/۶، ۴/۴، ۴/۳ درصد نسبت به وزن مخلوط آسفالت انتخاب گردید. شایان ذکر است که سایر پارامترهای مخلوط آسفالتی: پایداری مارشال، روانی مارشال، درصد فضای خالی، درصد فضای خالی پرشده با قیر، به ازای درصد قیر بهینه انتخابی تعیین و مقادیر آنها با معیار طرح اختلاط به روش مارشال مقایسه گردید، که نتایج آزمایش‌های ذکر شده در جدول ۲، ارایه شده است. همانگونه که از نتایج آزمایش‌ها در جدول ۲ مشهود است مقادیر پارامترهای اندازه‌گیری شده در محدوده مجاز می‌باشند. بنابراین انتخاب قیر بهینه ۴/۶، ۴/۴، ۴/۳ در هر یک از آزمایش‌ها نسبت به وزن مخلوط آسفالت بلامانع خواهد بود.

۲-۵- تعیین دانسته حداقل نظری مخلوط آسفالتی

برای تعیین دانستیه حد اکثر نظری حدود ۱۲۰ گرم از مخلوط آسفالتی انتخاب شده و داخل ارنی که وزن خشک و پرآب آن بدست آمده، ریخته می‌شود، در ادامه حدود یک سوم حجم ارلن حاوی نمونه آسفالت از آب شله و رس از سته شلن در آن به دستگاه خلاط

۷-۲-۲- تعیین درصد فضای خالی مخلوط آسفالتی

مغزه آسفالتی است. جهت شناخت مسئله، محاسبه درصد فضای خالی مخلوط آسفالتی مطابق فرمول بالا ابتدا با G_{mb} نمونه مارشال وسپس با G_{mm} مغزه اخذ شده از محور اندازه‌گیری می‌شود که نتایج آن در جدول شماره ۶ آورده شده است.

روش انجام آزمایش مطابق استاندارد [ASTM D2014] می‌باشد و درصد فضای خالی ازابطه ۳ محاسبه می‌شود.

$$A.V = 100 * \left(1 - \frac{G_{mb}}{G_{mm}} \right) \quad (3)$$

در این رابطه G_{mb} چگالی واقعی بتن آسفالتی، G_{mm} چگالی ماگزیم بتن آسفالتی و $A.V$ درصد فضای خالی

جدول ۲. نتایج آزمایش‌های قیر

حدود آئین نامه	نتایج آزمایش ۳	نتایج آزمایش ۲	نتایج آزمایش ۱	مشخصه
-	سنگین	سنگین	سنگین	طبقه بندی ترافیک
-	۷۵	۷۵	۷۵	تراکم؛ تعداد ضربات به هر سمت
حداقل ۸۰۰	۱۲۰۰	۱۱۵۰	۱۳۴۰	مقاومت مخلوط بر حسب کیلوگرم
۲-۳/۵	۲,۶	۲,۹	۲,۶	روانی بر حسب میلی متر
۳-۶	۴,۵	۵	۴,۱	درصد فضای خالی
۶۰-۷۵	۶۶	۶۵	۶۸	درصد فضای خالی پر شده با قیر

جدول ۳. نتایج آزمایش‌های مرغوبیت مصالح سنگی

حدود آئین نامه	نتایج آزمایش ۳ درشت دانه ماسه ۶-۰	نتایج آزمایش ۲ درشت دانه ماسه ۶-۰	نتایج آزمایش ۱ درشت دانه ماسه ۶-۰	استاندارد آزمایش	مشخصه
حداقل ۵۰	۶۲	۶۰	۶۹	ASHTO - ۳A T176	ارزش ماسه ای
حداکثر ۲۵	۲۲	۲۳	۲۲	AASHTO - T96	درصد افت وزنی در مقابل سایش به روش لوس آنجلس
حداکثر ۱۵	۹	۱۰	۱۲	BS - 812	درصد تورق
۸-۱۲	۲	۲	۱	AASHTO - T104	درصد افت وزنی در مقابل سورقات سدیم

جدول ۴. شرایط مقاومت، روانی، فضای خالی و درصد فضای خالی پر شده با قیر برای طرح مخلوط آسفالتی به روش مارشال

حدود آئین نامه	نتایج آزمایش ۳	نتایج آزمایش ۲	نتایج آزمایش ۱	استاندارد آزمایش	مشخصه
۱/۰-۱-۱/۰۶	۱,۰۱۷	۱,۰۱۷	۱/۰۱۷	ASTM-D70	وزن مخصوص در ۲۵ درجه سانتی گراد (gr/cm³)
۶۰-۷۰	۶۴	۶۴	۶۴	ASTM-D5	درجه نفوذ در ۲۵ درجه سانتی گراد
۴۹-۵۶	۵۱	۵۱	۵۰/۵	ASTM-D36	نقطه نرمی بر حسب درجه سانتی گراد
حداقل +۱۰۰	+۱۰۰	+۱۰۰	+۱۰۰	ASTM-D113	مقدار کشش در ۲۵ درجه سانتی گراد، بر حسب سانتی متر
-	۶۱۰	۵۹۵	۶۱۹	ASTM-D2170	کندروانی در دمای ۱۲۰ درجه سانتی گراد (سانتی استوکس)
۳۰۰	۳۲۳	۳۲۱	۳۲۶	ASTM-D2170	کندروانی در دمای ۱۳۵ درجه سانتی گراد (سانتی استوکس)
-	۱۳۲	۱۳۴	۱۳۲	ASTM-D2170	کندروانی در دمای ۱۵۰ درجه سانتی گراد (سانتی استوکس)
-	۱۳۴	۱۳۴	۱۳۶		دمای تکمیل تراکم نمونه مارشال حسب درجه سانتی گراد

۸-۲-۲- آزمایش دما در زمان تکمیل تراکم

شود. در این پژوهش دمای مخلوط آسفالتی بعد از تکمیل غلطک زنی نهایی اندازه‌گیری شد و نتایج آن در جدول شماره ۷ ارایه شده است.

برای ارزیابی تراکم پذیری مخلوط آسفالتی عامل اصلی و تعیین‌کننده دمای مخلوط است [Aboutalebi and Gole khoraseghane and Jamalo, 2018] بدین جهت دمایی که تراکم در آن صورت می‌گیرد باید مشخص

جدول ۵. مقادیر وزن مخصوص واقعی نمونه مارشال و مغزه اخذ شده از آسفالت اجرا شده

ردیف	شماره نمونه	وزن مخصوص نمونه مارشال (gr/cm ³)			وزن مخصوص آسفالت اجرا شده (gr/cm ³)		
		محور ۱	محور ۲	محور ۳	محور ۱	محور ۲	محور ۳
۱	A۱	۲,۳۴۸	۲,۴۰۷	۲,۳۳۳	۲,۲۷	۲,۳۲	۲,۲۸۱
۲	A۲	۲,۳۴۶	۲,۳۹۹	۲,۳۳۴	۲,۳۰۳	۲,۳۰۱	۲,۲۶۹
۳	A۳	۲,۳۴۳	۲,۳۸۰	۲,۳۳۴	۲,۲۶۸	۲,۳۲۰	۲,۲۵۴
۴	A۴	۲,۳۴۲	۲,۳۸۳	۲,۳۳۹	۲,۲۷۹	۲,۲۹۲	۲,۲۶۱
۵	A۵	۲,۳۴۲	۲,۳۷۸	۲,۳۳۴	۲,۲۸۱	۲,۲۶۸	۲,۲۶
۶	A۶	۲,۳۴۴	۲,۳۸۲	۲,۳۳۳	۲,۲۸۷	۲,۳۳۷	۲,۲۵۵
۷	A۷	۲,۳۵۶	۲,۳۸۱	۲,۳۳۱	۲,۲۶۴	۲,۲۹۰	۲,۲۶۳
۸	A۸	۲,۳۴۲	۲,۳۸۴	۲,۳۳۲	۲,۲۹	۲,۲۷۷	۲,۲۶۲
۹	A۹	۲,۳۴۳	۲,۳۹۰	۲,۳۳۸	۲,۲۶۶	۲,۲۷۱	۲,۲۵۱
۱۰	A۱۰	۲,۳۴۲	۲,۳۸۸	۲,۳۳۳	۲,۲۷	۲,۳۰۲	۲,۲۷۱
۱۱	A۱۱	۲,۳۴۴	۲,۴۰۵	۲,۳۳۲	۲,۲۶۶	۲,۳۰	۲,۲۵۳
۱۲	A۱۲	۲,۳۴۴	۲,۳۹۰	۲,۳۳۳	۲,۲۷۶	۲,۲۹۲	۲,۲۸۱
۱۳	A۱۳	۲,۳۴۱	۲,۳۹	۲,۳۴۱	۲,۲۸۰	۲,۲۷	۲,۲۶۲
۱۴	A۱۴	۲,۳۴۵	۲,۳۸	۲,۳۴۲	۲,۲۹۳	۲,۲۶۹	۲,۲۹۱
۱۵	A۱۵	۲,۳۵۲	۲,۳۸	۲,۳۴۱	۲,۲۸۹	۲,۲۶۶	۲,۲۸۱
۱۶	A۱۶	۲,۳۴۰	۲,۳۸۸	۲,۳۴۲	۲,۲۶۰	۲,۳۰۲	۲,۲۷۱
۱۷	A۱۷	۲,۳۴۱	۲,۳۸۴	۲,۳۴۲	۲,۲۶۰	۲,۲۸۶	۲,۲۶۸
۱۸	A۱۸	۲,۳۴۲	۲,۳۹۴	۲,۳۴۳	۲,۲۷۱	۲,۲۸۰	۲,۲۸۸
۱۹	A۱۹	۲,۳۴۲	۲,۳۸۳	۲,۳۴۱	۲,۲۹۵	۲,۲۷۵	۲,۲۶۱
۲۰	A۲۰	۲,۳۴۰	۲,۳۸۰	۲,۳۳۹	۲,۲۷	۲,۲۶۸	۲,۲۵۹
۲۱	A۲۱	۲,۳۴۳	۲,۳۸۵	۲,۳۳۸	۲,۲۸۱	۲,۲۸۳	۲,۲۸
۲۲	A۲۲	۲,۳۴۳	۲,۳۸۰	۲,۳۳۷	۲,۲۷	۲,۳۳۵	۲,۲۹۲
۲۳	A۲۳	۲,۳۴۳	۲,۳۸۱	۲,۳۳۸	۲,۲۶۳	۲,۲۹	۲,۲۵۱
۲۴	A۲۴	۲,۳۴۱	۲,۳۸۳	۲,۳۳۹	۲,۲۶۳	۲,۲۶۷	۲,۲۷۷
۲۵	A۲۵	۲,۳۴۲	۲,۳۷۱	۲,۳۴	۲,۲۶۲	۲,۲۶۶	۲,۲۰۰
۲۶	A۲۶	۲,۳۴۳	۲,۳۸۷	۲,۳۴۱	۲,۲۷۰	۲,۳۰۱	۲,۲۷۶
۲۷	A۲۷	۲,۳۴۱	۲,۳۸۰	۲,۳۴۲	۲,۲۶۲	۲,۲۸۲	۲,۲۵۸
۲۸	A۲۸	۲,۳۴۰	۲,۳۹۰	۲,۳۴۱	۲,۲۶۳	۲,۲۷۶	۲,۲۶۳
۲۹	A۲۹	۲,۳۴۰	۲,۳۸۲	۲,۳۴۲	۲,۲۶۲	۲,۲۷۰	۲,۲۷۴
۳۰	A۳۰	۲,۳۴۳	۲,۳۸۱	۲,۳۴۳	۲,۲۸۱	۲,۲۶۹	۲,۲۶۶

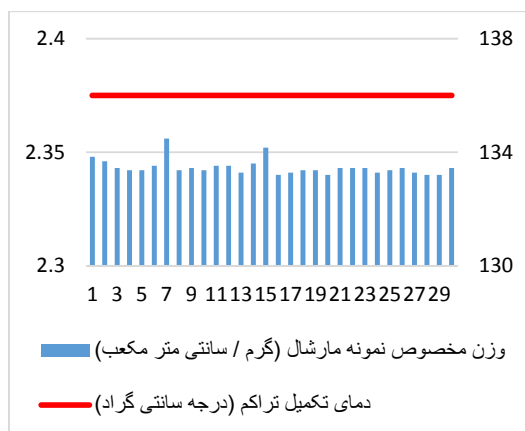
جدول ۶. مقادیر درصد فضای خالی باستفاده از دانسیته نمونه مارشال و دانسیته آسفالت اجرا شده

ردیف	شماره نمونه	درصد فضای خالی محاسبه شده توسط دانسیته مارشال					
		محور ۳	محور ۲	محور ۱	محور ۳	محور ۲	محور ۱
۱	A1	۷,۶۱۴	۷,۸۲۷	۷,۹۱۱	۵,۰۰۸	۴,۳۷	۴,۷۴۶
۲	A2	۸,۱۰۰	۸,۵۸۲	۶,۰۲۷	۵,۴۶۸	۴,۷۸۸	۴,۰۲۷
۳	A3	۸,۷۰۸	۷,۸۲۷	۷,۹۹	۵,۴۶۸	۵,۴۴۳	۴,۹۴۹
۴	A4	۸,۴۲۴	۸,۹۳۹	۷,۵۴۶	۵,۲۶۵	۵,۳۲۴	۴,۹۸۹
۵	A5	۸,۴۶۵	۹,۸۹۳	۷,۴۶۴	۵,۴۶۸	۵,۰۲۲	۴,۹۸۹
۶	A6	۸,۶۶۷	۷,۱۰۱	۷,۲۲۱	۵,۰۰۸	۵,۳۶۴	۴,۹۰۸
۷	A7	۸,۳۴۳	۹,۰۹۱	۸,۱۰۴	۵,۰۵۸۹	۵,۴۰۳	۴,۴۲۲
۸	A8	۸,۳۸۴	۹,۵۳۵	۷,۰۹۹	۵,۰۴۹	۵,۲۸۴	۴,۹۸۹
۹	A9	۸,۸۲۹	۹,۷۷۴	۸,۰۷۳	۵,۳۰۶	۵,۰۴۶	۴,۹۴۹
۱۰	A10	۸,۰۱۹	۸,۵۴۲	۷,۹۱	۵,۰۰۸	۵,۱۲۵	۴,۹۸۹
۱۱	A11	۸,۷۴۸	۸,۶۲۱	۸,۰۷۳	۵,۰۵۹	۴,۴۵۰	۴,۹۰۸
۱۲	A12	۷,۶۱۴	۸,۹۳۹	۷,۶۶۷	۵,۰۰۸	۵,۰۴۶	۴,۹۰۸
۱۳	A13	۸,۳۸۴	۹,۸۱۳	۷,۵۰۵	۵,۱۸۴	۵,۰۴۶	۵,۰۳
۱۴	A14	۷,۲۰۹	۹,۸۵۳	۷,۹۷۷	۵,۱۴۴	۵,۴۴۳	۴,۸۶۸
۱۵	A15	۷,۶۱۴	۹,۹۷۲	۷,۱۴۰	۵,۱۸۴	۵,۴۴۳	۴,۵۸۴
۱۶	A16	۸,۰۱۹	۸,۵۴۲	۸,۳۱۶	۵,۱۴۴	۵,۱۲۵	۵,۰۷
۱۷	A17	۸,۱۴۱	۹,۱۷۸	۸,۳۱۶	۵,۱۴۴	۵,۲۸۴	۵,۰۳
۱۸	A18	۷,۳۳۱	۹,۴۱۶	۷,۸۷۰	۵,۱۰۳	۴,۸۸۴	۴,۹۸۹
۱۹	A19	۸,۴۲۴	۹,۶۱۵	۷,۸۹۶	۵,۱۸۴	۵,۳۲۴	۴,۹۸۹
۲۰	A20	۸,۰۰۵	۹,۸۹۳	۷,۹۱۰	۵,۲۶۵	۵,۴۴۳	۵,۰۷
۲۱	A21	۷,۶۵۵	۹,۲۹۷	۷,۴۶۴	۵,۳۰۶	۵,۲۴۴	۴,۹۴۹
۲۲	A22	۷,۱۶۹	۷,۲۳۱	۷,۹۱۰	۵,۳۴۶	۵,۴۴۳	۴,۹۴۹
۲۳	A23	۸,۸۲۹	۹,۰۱۱۹	۸,۱۹۴	۵,۳۰۶	۵,۴۰۳	۴,۹۴۹
۲۴	A24	۷,۷۷۶	۹,۹۳۲	۸,۱۹۴	۵,۲۶۵	۵,۳۲۴	۵,۰۳
۲۵	A25	۸,۶۶۷	۹,۹۷۲	۸,۲۳۵	۵,۲۲۵	۵,۸۰۱	۴,۹۸۹
۲۶	A26	۸,۳۰۳	۸,۵۸۲	۷,۹۱۰	۵,۱۸۴	۵,۱۶۵	۴,۹۴۹
۲۷	A27	۸,۰۵۶	۹,۳۳۷	۸,۲۳۵	۵,۱۴۴	۵,۴۴۳	۵,۰۳
۲۸	A28	۸,۳۴۳	۹,۰۷۵	۸,۱۹۴	۵,۱۸۴	۵,۰۴۶	۵,۰۷
۲۹	A29	۷,۸۹۸	۹,۸۱۳	۸,۲۳۵	۵,۱۴۴	۵,۳۶۴	۵,۰۷
۳۰	A30	۸,۲۲۲	۹,۸۵۳	۷,۴۶۴	۵,۱۰۳	۵,۴۰۳	۴,۹۴۹

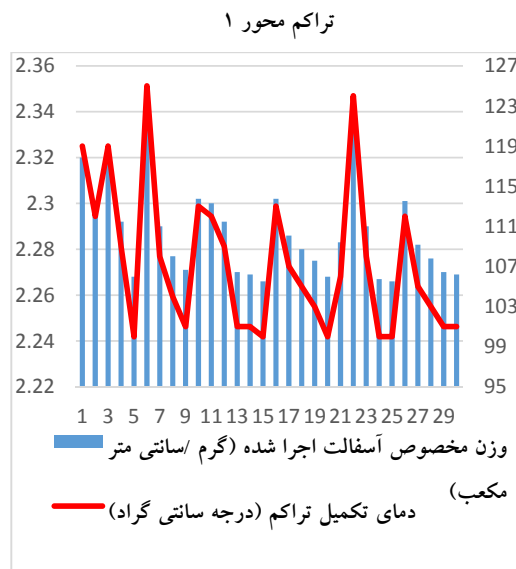
جدول ۷. مقادیر دمای تکمیل تراکم مخلوط آسفالتی حین اجرا

ردیف	شماره نمونه	دمای تکمیل تراکم (درجه سانتی گراد)		
		محور ۱	محور ۲	محور ۳
۱	A۱	۱۱۴	۱۱۹	۱۱۷
۲	A۲	۱۲۶	۱۱۲	۱۱۳
۳	A۳	۱۱۳	۱۱۹	۱۰۸
۴	A۴	۱۱۷	۱۰۹	۱۱۰
۵	A۵	۱۱۸	۱۰۰	۱۱۰
۶	A۶	۱۲۰	۱۲۵	۱۰۸
۷	A۷	۱۱۱	۱۰۸	۱۱۱
۸	A۸	۱۲۱	۱۰۴	۱۱۱
۹	A۹	۱۱۲	۱۰۱	۱۰۷
۱۰	A۱۰	۱۱۴	۱۱۳	۱۱۴
۱۱	A۱۱	۱۱۲	۱۱۲	۱۰۷
۱۲	A۱۲	۱۱۶	۱۰۹	۱۱۷
۱۳	A۱۳	۱۱۷	۱۰۱	۱۱۱
۱۴	A۱۴	۱۲۲	۱۰۱	۱۲۱
۱۵	A۱۵	۱۲۱	۱۰۰	۱۱۷
۱۶	A۱۶	۱۱۰	۱۱۳	۱۱۴
۱۷	A۱۷	۱۱۰	۱۰۷	۱۱۳
۱۸	A۱۸	۱۱۴	۱۰۵	۱۲۰
۱۹	A۱۹	۱۲۳	۱۰۳	۱۱۰
۲۰	A۲۰	۱۱۴	۱۰۰	۱۰۹
۲۱	A۲۱	۱۱۸	۱۰۶	۱۱۷
۲۲	A۲۲	۱۱۴	۱۲۴	۱۲۱
۲۳	A۲۳	۱۱۱	۱۰۸	۱۰۷
۲۴	A۲۴	۱۱۱	۱۰۰	۱۱۶
۲۵	A۲۵	۱۱۱	۱۰۰	۱۰۸
۲۶	A۲۶	۱۱۴	۱۱۲	۱۱۱
۲۷	A۲۷	۱۱۱	۱۰۵	۱۰۹
۲۸	A۲۸	۱۱۱	۱۰۳	۱۱۱
۲۹	A۲۹	۱۱۱	۱۰۱	۱۱۵
۳۰	A۳۰	۱۱۸	۱۰۱	۱۱۲

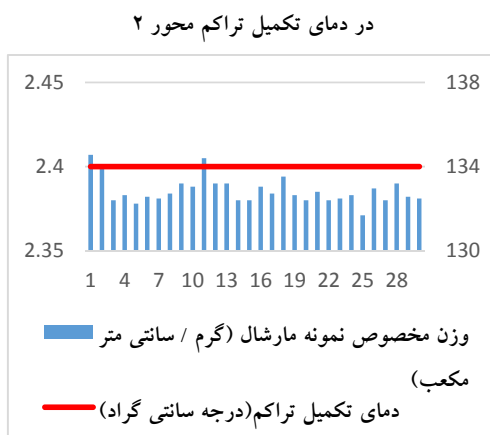
۳- تحلیل و بررسی نتایج



شکل ۴. نمودار وزن مخصوص نمونه مارشال در دمای تکمیل



شکل ۵. نمودار وزن مخصوص مغزه اخذ شده آسفالت اجرا

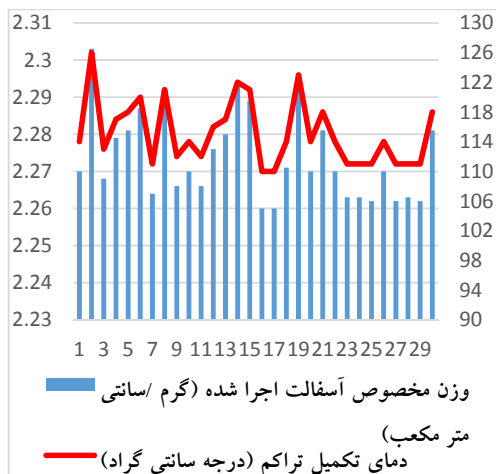


شکل ۶. نمودار وزن مخصوص نمونه مارشال در دمای تکمیل

اهمیت چگالی و درصد فضای خالی در مخلوطهای آسفالتی اجرا شده و همچنین لزوم معرفی روش دقیق که بتواند درصد فضای خالی واقعی مخلوط آسفالتی اجرا شده را که معیاری برای کنترل و تضمین کیفیت لایه آسفالتی اجرا شده است، نشان دهنده چرایی این موضوع تحقیق می‌باشد.

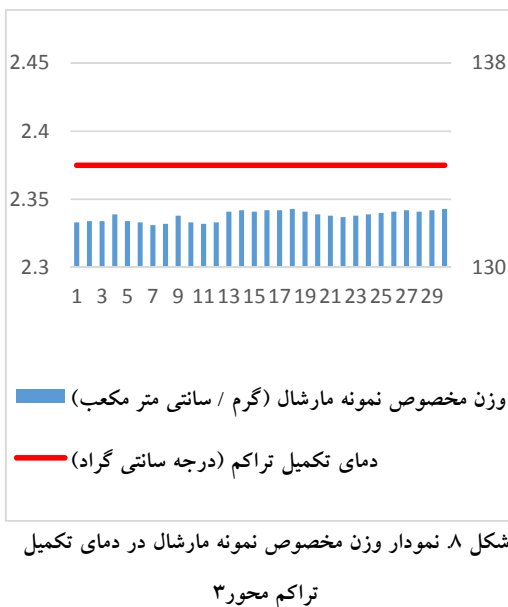
۱-۳- مقایسه آزمایش تعیین وزن مخصوص نمونه مارشال و مغزه اخذ شده از محور آزمایش در دمای تکمیل تراکم

نتایج آزمون‌های وزن مخصوص نمونه مارشال و وزن مخصوص آسفالت اجرا شده، در دمای تکمیل تراکم مطابق نمودارهای شکل ۳، ۴، ۵، ۶، ۷، ۸ ارائه شده است همانطور که در این اشکال مشهود است نمودار وزن مخصوص نمونه مارشال دارای یکنواختی بیشتری نسبت به نمودارهای وزن مخصوص آسفالت اجرا شده هستند. با توجه به اینکه آزمون‌های وزن مخصوص نمونه مارشال دارای یکنواختی بیشتری نسبت به نتایج آزمون‌های آسفالت اجرا شده می‌باشند.

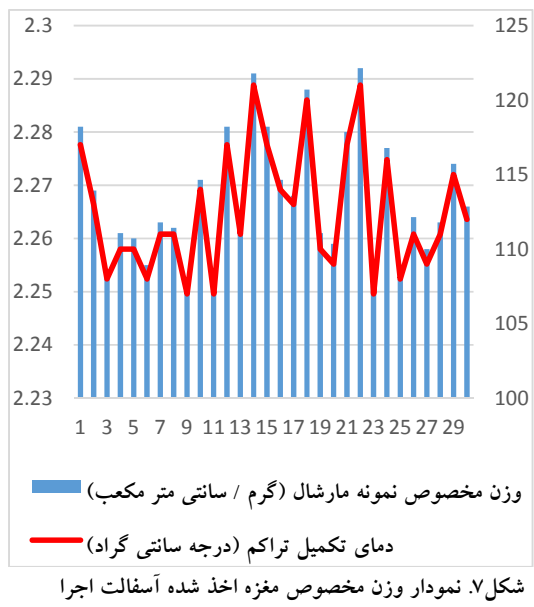


شکل ۳. نمودار وزن مخصوص مغزه اخذ شده آسفالت اجرا

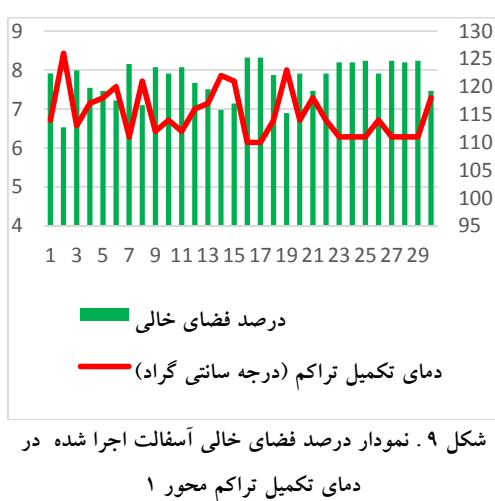
در دمای تکمیل تراکم محور ۱



شکل ۸. نمودار وزن مخصوص نمونه مارشال در دمای تکمیل تراکم محور ۳



شکل ۷. نمودار وزن مخصوص مغزه اخذ شده آسفالت اجرا در دمای تکمیل تراکم محور ۳



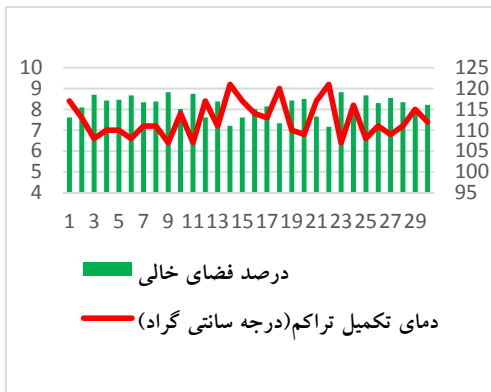
شکل ۹. نمودار درصد فضای خالی آسفالت اجرا شده در دمای تکمیل تراکم محور ۱



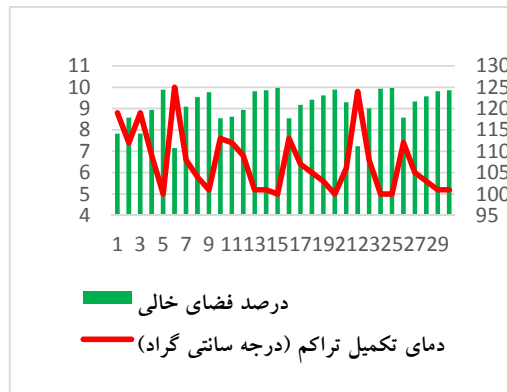
شکل ۱۰. نمودار درصد فضای خالی نمونه مارشال در دمای تکمیل تراکم محور ۱

۲-۳- مقایسه آزمایش تعیین درصد فضای خالی نمونه مارشال و مغزه اخذ شده از محور آزمایش در دمای تکمیل تراکم

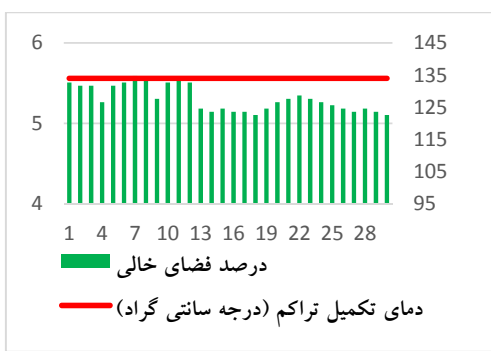
نتایج آزمون های درصد فضای خالی محاسبه شده با وزن مخصوص نمونه مارشال و وزن مخصوص آسفالت اجرا شده در دمای تکمیل تراکم مطابق نمودارهای شکل ۹، ۱۱، ۱۲، ۱۳، ۱۴ ارایه شده است همانطور که از نتایج آزمایش درصد فضای خالی در دمای تکمیل تراکم قابل مشاهده است. نمودار درصد فضای خالی محاسبه شده با وزن مخصوص نمونه مارشال دارای یکنواختی بیشتری نسبت به نمودار درصد فضای خالی محاسبه شده با وزن مخصوص آسفالت اجرا شده هستند. با توجه به اینکه آزمون های انجام شده در سه مخلوط آسفالتی متفاوت صورت گفته است و در هر سه مخلوط آسفالتی نتایج آزمون های درصد فضای خالی با وزن مخصوص نمونه مارشال دارای یکنواختی بیشتری نسبت به نتایج آزمون های آسفالت اجرا شده میباشد، علت این امر را میتوان عدم یکنواختی در دمای تکمیل تراکم آسفالت اجرا شده نام برد.



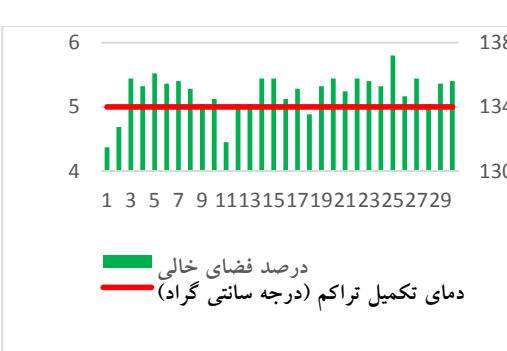
شکل ۱۳. نمودار درصد فضای خالی آسفالت اجرا شده در دمای تکمیل تراکم محور ۳



شکل ۱۱. نمودار درصد فضای خالی آسفالت اجرا شده در دمای تکمیل تراکم محور ۲

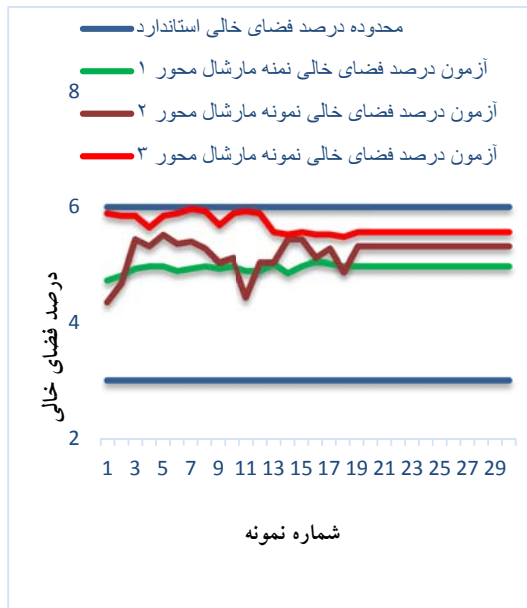


شکل ۱۴. نمودار درصد فضای خالی نمونه مارشال در دمای تکمیل تراکم محور ۳

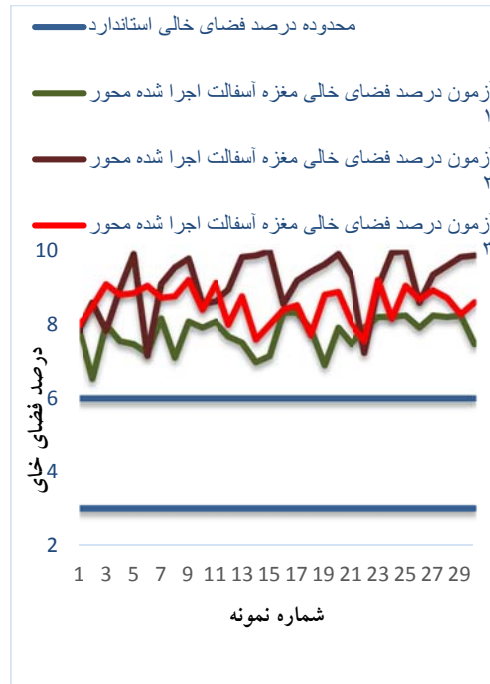


شکل ۱۲. نمودار درصد فضای خالی نمونه مارشال در دمای تکمیل تراکم محور ۲

۳-۳- مقایسه آزمون درصد فضای خالی نمونه مارشال و مغزه آسفالت اجرا شده با درصد فضای خالی استاندارد
شکل شماره ۱۵ نمودار مقایسه آزمون درصد فضای خالی نمونه مارشال و شکل شماره ۱۶ نمودار مقایسه آزمون درصد فضای خالی استاندارد درصد فضای خالی مغزه آسفالت اجرا شده را با محدوده استاندارد درصد فضای خالی نشان می‌دهد.
همانگونه که انتظار می‌رفت و در شکل شماره ۱۵ مشخص است درصد فضای خالی همه نمونه‌های مارشال در داخل محدوده استاندارد قرارگرفته و در شکل شماره ۱۶ درصد فضای خالی هیچ کدام از مغزه‌های آسفالت اجرا شده در داخل محدوده استاندارد نیست.



شکل ۱۵. نمودار مقایسه درصد فضای خالی نمونه مارشال با محدوده درصد فضای خالی استاندارد



شکل ۱۶. نمودار مقایسه درصد فضای خالی نمونه مارشال با محدوده درصد فضای خالی استاندارد

۴- مقایسه آماری

شده و نمونه مارشال محاسبه و نتایج آن در جدول شماره ۸ و ۹ ارایه شده است. همانگونه که ملاحظه می‌شود ضریب تغیرات دمای تکمیل تراکم و درصد فضای خالی لایه آسفالتی اجرا شده بیشتر از دمای تکمیل تراکم و درصد فضای خالی نمونه مارشال است. به منظور ارزیابی تاثیر دمای تکمیل تراکم در نتایج حاصل از آزمایشات تعیین درصد فضای خالی با استفاده از دانسیته نمونه مارشال و دانسیته لایه آسفالتی اجرا شده انحراف از معیار و ضریب تغیرات دمای تکمیل تراکم و درصد فضای خالی تعیین شده با استفاده از دانسیته آسفالت اجرا

جدول ۸. مقایسه آماری دمای تکمیل تراکم

ضریب تغییرات میانگین دمای تکمیل تراکم آسفالت اجرا شده	ضریب تغییرات میانگین دمای تکمیل تراکم دانسیته مارشال	انحراف ازمعیار میانگین دمای تکمیل تراکم آسفالت اجرا شده	انحراف ازمعیار میانگین دمای تکمیل تراکم دانسیته مارشال	میانگین دمای تکمیل تراکم آسفالت اجرا شده	میانگین دمای تکمیل تراکم دانسیته مارشال	
۰,۰۶۲۱	۰,۰۲۸۳	۴,۳۷۹	۰	۱۱۵,۱۶	۱۳۶	محور ۱
۰,۰۸۸	۰,۰۵۸۹	۷,۲۶۰	۰	۱۰۷,۳۶	۱۳۴	محور ۲
۰,۰۵۸	۰,۰۳۰۱	۰,۴۸۱	۰	۱۱۲,۵	۱۳۴	محور ۳

جدول ۹. مقایسه آماری نتایج حاصل از آزمایش تعیین درصد فضای خالی در دمای تکمیل تراکم

ضریب تغییرات درصد فضای خالی محاسبه شده توسط آسفالت اجرا شده	ضریب تغییرات درصد فضای خالی محاسبه شده توسط آسفالت اجرا شده دانسیته مارشال	انحراف ازمعیار درصد فضای خالی محاسبه شده توسط آسفالت اجرا شده	انحراف ازمعیار درصد فضای خالی محاسبه شده توسط آسفالت اجرا شده دانسیته مارشال	میانگین درصد فضای خالی محاسبه شده توسط دانسیته مارشال آسفالت اجرا شده	میانگین درصد فضای خالی محاسبه شده توسط دانسیته مارشال آسفالت اجرا شده	
۰,۰۶۲۱	۰,۰۲۸۳	۰,۴۸۲	۰,۱۴۰	۷,۷۵۰	۴,۹۳۷	محور ۱
۰,۰۸۸	۰,۰۵۸۹	۰,۸۰۷	۰,۳۰۸	۹,۱۲۰	۵,۲۲۳	محور ۲
۰,۰۵۸	۰,۰۳۰۱	۰,۴۸۱	۰,۱۶۰	۸,۱۶۵	۵,۳۰	محور ۳

۵- نتیجه‌گیری

در این پژوهش مقادیر درصد فضای خالی محاسبه شده با استفاده از وزن مخصوص نمونه مارشال و وزن مخصوص لایه آسفالتی اجرا شده مطابق استاندارد [ASTM D 2041] مقایسه گردید و نتایج زیر به دست آمد.

در صورت استفاده از وزن مخصوص نمونه مارشال در تعیین درصد فضای خالی ضریب تغییرات درصد فضای خالی در محدوده (۰,۰۲۸۳ تا ۰,۰۵۸۹) است در حالی که ضریب تغییرات درصد فضای خالی محاسبه شده با استفاده از وزن مخصوص لایه آسفالتی اجرا شده در محدوده (۰,۰۵۸ تا ۰,۰۶۲۱) می‌باشد.

درصد فضای خالی محاسبه شده با استفاده از وزن مخصوص لایه آسفالتی اجرا شده ۲,۸ تا ۳,۸ درصد بیشتر از درصد فضای خالی محاسبه شده با استفاده از نمونه مارشال است. نتایج به دست آمد از این پژوهش‌گواه بر این است که آزمون‌های درصد فضای خالی با وزن مخصوص نمونه مارشال در شرایط کاملاً استاندارد آزمایشگاهی انجام می‌شود و نمی‌تواند معرف واقعی درصد فضای خالی آسفالت اجرا شده باشد.

۷- پی‌نوشت‌ها

1. Laboratoire Central des ponts et Chaussees wheel Tracker
2. American society for Testing and Materials
3. American Association of state highway and Transportation officials

۸- مراجع

- ابوطالبی اصفهانی، م. گلی خراسگانی، ا. و هارونی جمالوئی، م. (۱۳۹۷)، "بررسی اثر واکس‌های ساسویت و پارافین بر خصوصیات رئولوژی قیر"، پژوهشنامه حمل و نقل، شماره ۵۶، ص. ۱۴۵-۱۶۰.

- خاوندی، ع. حیدری، م. و دهقانی، ا. (۱۳۹۸)، "بررسی اثر افودنی‌های ضد عریان شدگی و نوع مصالح سنگ دانه‌ای بر مقاومت مخلوط‌های آسفالتی در برابر آسیب‌های رطوبتی (مطالعه موردی: استان اردبیل)", فصلنامه مهندسی حمل و نقل، سال دهم، شماره چهارم، ص. ۸۵۱-۸۶۵.

- دیواندری، ح. مدرس، ا. حسینی علی‌آباد، م. رستمی، انکاس (۱۳۹۴)، "ارایه مدل شیارشدنگی آسفالتی با استفاده از نتایج آزمایش مقاومت کششی غیرمستقیم و پارامترهای مارشال"، مهندسی زیرساخت‌های حمل و نقل، سال اول، شماره دوم، ص. ۴۱-۵۴.

- طاهرخانی، ح. و افروزی، س. (۱۳۹۶)، "ارزیابی شیار افتادگی و حساسیت رطوبتی بتن آسفالتی گرم حاوی الیاف نایلونی"، فصلنامه مهندسی حمل و نقل، سال هشتم، شماره چهارم، ص. ۵۷-۵۸۷.

- شعبانی، ش. کیانفر، ک. و محمدی ویژه، م. (۱۳۹۶)، "تشخیص ارتباط پارامترهای عربان شدگی در عمق آسفالت به کمک روش رادار نفوذی به زمین مطالعه موردی منطقه ۲۲ تهران"، نشریه ژئوفیزیک کاربردی، دوره ۳، شماره ۲، ص. ۲۴۳-۲۲۹.

- طباطبایی، ام. (۱۳۹۶)، "روسانی راه"، تهران، مرکز نشر دانشگاهی.

- عامری، م. واقع، م. روح‌الامینی، ح. بمانا، ک. (۱۳۹۴)، "ارزیابی حساسیت رطوبتی در مخلوط‌های آسفالتی گرم" مهندسی حمل و نقل، سال ششم، شماره چهارم، ص. ۶۱۶-۶۱۳.

- غنی‌زاده، ع. حیدر آبادی زاده، ن. ضیایی، ا. (۱۴۰۰)، "مدل‌سازی عدد جریان مخلوط‌های آسفالتی با استفاده از روش رگرسیون چند جمله‌ای تکاملی"، پژوهشنامه حمل و نقل، سال هجدهم، دوره سوم، شماره ۶۸، ص. ۲۸-۱۶.

- معاونت برنامه‌ریزی و نظارت راهبردی ریاست جمهوری (۱۳۹۰)، "آین نامه روسازی راه‌های آسفالتی ایران"، نشریه شماره ۲۳۴، وزارت راه‌وشهرسازی، پژوهشکده حمل و نقل موسسه قیر و آسفالت ایران، تجدید نظر اول.

- معاونت و نظارت راهبردی ریاست جمهوری، (۱۳۹۲)، "مشخصات فنی عمومی راه"، نشریه ۱۰۱ تجدیدنظر دوم.

- MC lead , N. W., (1956), "Relationship between Density, Bitumen Content, and Voids properties of compacted Bituminous paving Mixtures", Proceedings of Highway Research Board.
- Pardhan, M. M., (1995), "Permanent Deformation Characteristics of Asphalt – Aggregate Mixture Using varied Material and Modeling procedure With Marshall Method", Ph.D. Dissertation, Montana University.
- Sakhaifar, M. S., Kim, Y. R. and Kabir, P. (2015). "New predictive models for the dynamic modulus of hot mix asphalt", Construction and Building Materials, No. 76, pp. 221-231.
- Smith, B.J., Hesp,s. , (2002), "crack pinning In Asphalt Mastic and concreat : Regular Fatigue studies " , Journal of Transportation Research Board, Vol. 3, No. 1728, pp.75-81.
- AASHTO T 166-16 Standard Method of Test for Bulk Specific Gravity (Gmb) of Compacted Hot Mix Asphalt (HMA) Using Saturated Surface-Dry Specimens.(2016).
- ASTM D2041 - 03a - Standard Test Method For Theoretical Maximum Specific Gravity and Density of Bituminous paving Mixtures(2016).
Doi.org/10.1016/j.conbuildmat.2014.11.011.
- Fwa, T.F., Pasindu,H. R. and Ong, G.P.(2012) "Critical rut depth for pavement maintenance based on vehicle skidding and hydroplaning Consideration ", Journal of Transportation Engineering, Vol. 138, No. 4, pp. 423-429.
- Kandhal, P.S., N.A.P. Association, and N.C.F.A.(1992), " Technology ,Moisture susceptibility of HMA mixes:identification of problem and recommended solutions" ,National Asphalt pavement.

Comparison Percent Empty Space Marshall Samples with Cores Taken from the Asphalt Layer in Place

*Peyman Rashydiān, M.Sc., Grad., Transportation Department,
Faculty of Engineering, Payam Noor University of Kish, Kish, Iran.*

*Mahmood Reza Keymanesh, Assistant Professor, Transportation Department,
Faculty of Engineering, Payam Noor University of Tehran, Tehran, Iran.*

*Jalal Ayoubinejad, Assistant Professor, Transportation Department,
Faculty of Engineering, Payam Noor University of Tehran, Tehran, Iran.*

E-mail: mrkeymanesh@pnu.ac.ir

Received: February 2023- Accepted: July 2023

ABSTRACT

One of validate benchmarks for assessing and evaluating the quality of asphalt in road projects, such as density and percent empty space. Percent empty space of the Asphalt layer implemented has an important effect on its optimal performance, durability and stability. Using of (ASTM D2014) is the usual method for measuring percent empty space of asphalt layer. Mentioned method for determination percentage empty space using of density sample Marshall which is determined under completely "standard" laboratory conditions. In the present article determination percent empty space asphalt layer implemented with using of density core obtained of asphalt layer implemented done, and then the result comparison with percent empty space determinate by density sample Marshall transpire if used density core obtained of asphalt layer implemented In calculating percent empty space the result (2.8-3.8) percent more than percent empty space calculated With using of Marshall sample density. Therefore, if the percent of empty space of the Marshall sample is used in determining the parameters of the asphalt layer, due to the different temperature conditions and experimental and operational density, results other than reality will be obtained .According to the results of this research, it is better to use the density core obtained of asphalt layer implemented in determine the percentage of empty space asphalt layer.

Keywords: Percentage Empty Space, Density, Asphalt Layer, Density Core Obtained, Density Sample Marshall